

## افزایش امنیت در ارتباطات شبکه‌های مخابرات سلولی با به کارگیری روش همراستاسازی تداخل

علی گلستانی<sup>۱\*</sup>، کمال محمدپور<sup>۲</sup>، علی حبیبی بسطامی<sup>۳</sup>

۱- دانشجوی کارشناسی ارشد، دانشگاه صنعتی خواجه نصیرالدین طوسی، دانشکده مهندسی برق و کامپیوتر

۲- استاد، دانشگاه صنعتی خواجه نصیرالدین طوسی، دانشکده مهندسی برق و کامپیوتر

۳- استادیار، دانشگاه صنعتی خواجه نصیرالدین طوسی، دانشکده مهندسی برق و کامپیوتر

(دریافت: ۹۳/۱۱/۲۶؛ پذیرش: ۹۴/۰۶/۱۰)

### چکیده

یکی از چالش‌های معمول در شبکه‌های مخابرات بی‌سیم، شنود شدن سیگنال‌های پخش شده از ایستگاه‌های رادیویی توسط استرافق سمع کننده‌ها می‌باشد. در این مقاله نشان داده می‌شود که در یک شبکه مخابرات سلولی با وجود تخصیص فرکانس یکسان به تک تک کاربران، تکنیک همراستاسازی تداخل (IA)، افزون بر این که می‌تواند تداخل‌های درون و بین سلولی را به طور کامل حذف کند؛ همچنین قادر است درجهات آزادی (DoF) امن را برای شبکه فراهم کند و ارتباطات را در برابر شنود مقاوم سازد. تکنیک IA می‌تواند نرخ محرمانگی شبکه را در SNRهای بالا به تاجیه نرخ کانال پخش تداخلی (IFBC) نزدیک نماید. به منظور اثبات ریاضی و شهودی قابلیت تکنیک همراستاسازی تداخل در افزایش امنیت ارتباطات، از یک الگوریتم IA شکل‌بسته در لینک فرموسو یک شبکه سلولی نامن‌شده استفاده شده است. نتایج شبیه‌سازی‌ها نشان می‌دهد که به‌ازای محدوده‌ای معین برای تعداد آنتن‌های دریافت‌های شنودگر، نرخ محرمانگی شبکه در SNRهای بالا به خوبی به ظرفیت مجموع شبکه نزدیک می‌گردد.

**واژه‌های کلیدی:** شبکه مخابرات سلولی، امنیت، همراستاسازی تداخل، درجهات آزادی امن، نرخ محرمانگی، کانال تداخل MIMO

هم‌فرکانس در سیستم‌های چندکاربره می‌باشد. همراستاسازی تداخل یک تکنیک ارسال و یا دریافت مشارکتی<sup>۱</sup> است که به صورت خطی (یا غیرخطی) سیگنال‌ها را روی چند بعد، نظیر شیارهای زمانی، بلوک‌های فرکانسی و آنتن‌ها کد می‌کند<sup>[۱]</sup>. به عبارت دیگر IA به دنبال حداکثرسازی ابعاد فضایی سیگنال مطلوب و در نتیجه حداقل‌سازی ابعاد فضایی سیگنال‌های تداخلی در فضای گیرنده مطلوب می‌باشد<sup>[۲]</sup>. بنابراین، به کمک تکنیک IA، هر کاربر می‌تواند سمیل‌های مستقل ارسالی از طرف ایستگاه رادیویی را بدون مواجهه با تداخل ناشی از سیگنال‌های سایر کاربران، دریافت نماید.

فرض کنید سیستمی چندکاربره وجود دارد که در آن ارسالات به صورت همزمان و هم‌فرکانس بر اساس تکنیک IA صورت می‌گیرد. در این سیستم، اگر شنودگر<sup>۲</sup> یا شنودگرهایی قصد استرافق سمع ارتباطات را داشته باشند؛ حتی با استفاده از هرگونه روش آشکارسازی و کدگشایی<sup>۳</sup> نمی‌توانند سیگنال‌های ارسالی را تشخیص دهند. علت آن است که سیگنال‌های تداخلی

### ۱- مقدمه

در مخابرات بی‌سیم، از آنجایی که سیگنال‌های ارسالی در فضای سایبر پخش می‌شوند؛ به شدت در برابر شنود آسیب‌پذیرند. آسیب‌پذیری ارتباطات بی‌سیم در برابر استرافق سمع، نقطه ضعفی اساسی در برقراری ارتباطات امن محسوب می‌شود. برای آن دسته از شبکه‌های ارتباطی که امنیت در آن‌ها از اولویت بالایی برخوردار است؛ مخابرات بی‌سیم تنها در صورتی می‌تواند کارآمد باشد که برای امن نمودن ارتباطات خود راه حلی مؤثر اتخاذ نموده باشد. یکی از راه حل‌های ممکن برای ایمن‌سازی ارتباطات در سیستم‌های چندکاربره (MU)، به کارگیری تکنیک همراستاسازی تداخل<sup>۴</sup> می‌باشد. در واقع تکنیک IA یکی از روش‌های مطمئن و امن در ارسال داده‌ها و اطلاعات با ارزش برای فرد مجاز در فضای سایبر می‌باشد که این موضوع IA را به نوعی راه کار پدافند سایبری تبدیل می‌کند. کاربرد اصلی تکنیک IA (همان‌طور که از نام‌گذاری آن مشخص است)؛ کاهش تداخل به منظور برقراری ارتباطات همزمان و

3- Cooperative

4- Eavesdropper

5- Decoding

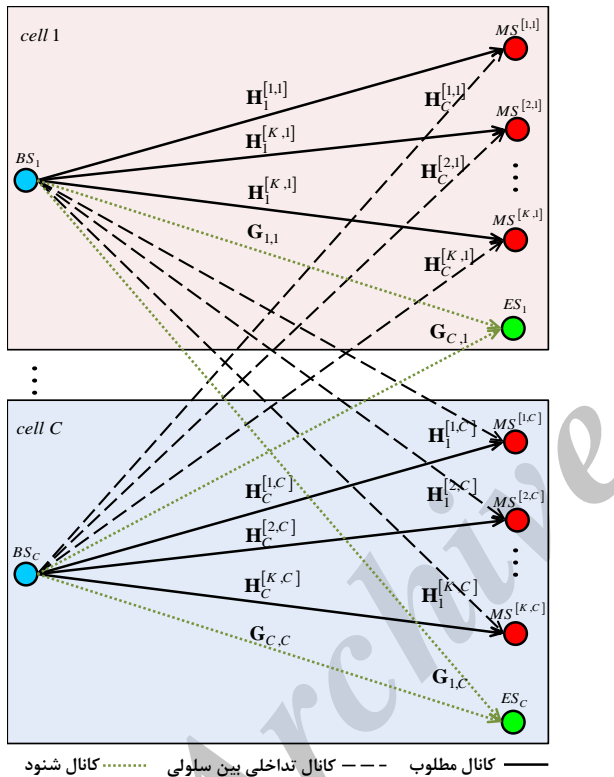
\* رایانه نویسنده مسئول: agolestani@ee.kntu.ac.ir

1- Multi-user

2- Interference alignment (IA)

## ۲- مدل سیستم

یک شبکه سلولی متقارن در سناریوی DL به عنوان مدل سیستم انتخاب می‌شود. این شبکه دارای  $C$  سلول و در هر سلول افرون بر BS،  $K$  کاربر (MS) و یک ایستگاه شنود<sup>۶</sup> (ES) وجود دارد. چنین شبکه‌ای را می‌توان همانند شکل (۱) به صورت MIMO IFBC<sup>۷</sup> مدل نمود. در این شکل  $BS_c$ ،  $MS_c^{[k,c]}$ ،  $ES_c$  ایستگاه پایه سلول  $c$ ،  $MS^{[k,c]}$  کاربر  $k$  ام در سلول  $c$  و  $ES_c$  شنودگر سلول  $c$  ام می‌باشد.



شکل (۱). نمایش سیستم سلولی شامل ایستگاه‌های پایه، کاربران و شنودگرها

ماتریس  $\mathbf{H}_b^{[k,c]}$  معرف کanal MIMO مابین BS سلول  $b$  ام و  $k$  این کاربر سلول  $c$  ام است. هر  $i$ -BS دارای  $M_b$  آتن ارسال و هر  $N_m$  دارای MS آتن دریافت است؛ در نتیجه محوش دگی<sup>۸</sup>  $\mathbf{H}_b^{[k,c]} \in \mathbb{C}^{N_m \times M_b}$ . محوش دگی به صورت رایلی شباهی است در نظر گرفته شده است و هر زیرکanal به صورت i.i.d. طبق.

ماتریس  $\mathbf{G}_{b,c} \in \mathbb{C}^{N_e \times M_b}$  نیز معرف کanal MIMO مابین BS سلول  $b$  و شنودگر سلول  $c$  ام می‌باشد. تعداد آتن‌های

6- Eavesdropping station

7- Multi input multi output interference broadcast channel  
8- Fading

تمام ابعاد فضای دریافت آن‌ها را اشغال خواهد نمود و بدليل همزمان و هم‌فرکانس بودن ارتباطات، سیگنال مطلوب (از دید شنودگر)، از سیگنال‌های تداخلی قابل جداسازی نخواهد بود [۳].

ایمن‌سازی ارتباطات به کمک تکنیک IA در مقالات محدودی بررسی گردیده است. در مقاله [۴]، از تکنیک IA برای ایجاد امنیت در کanal تداخل  $K$  کاربره با حضور یک شنودگر استفاده شده است. مرجع [۵]، سیستمی شامل یک زوج فرستنده و گیرنده چندآتنه در نظر می‌گیرد که در آن تعداد آتن‌های دریافت دو برابر تعداد آتن‌های ارسال است. هر گیرنده دو جمیر را از میان تعدادی جمیر به صورت فرصت‌طلبانه طوری انتخاب می‌کند که اگر تعداد جمیرها به بی‌نهایت میل کند، تعداد درجات آزادی امن به حداقل مقدار خود برسد و اگر تعداد آتن‌های شنودگر کوچک‌تر یا مساوی تعداد آتن‌های گیرنده مطلوب باشد؛ شنودگر به هیچ عنوان قادر به آشکارسازی سیگنال مطلوب نخواهد بود. مقاله [۶] نیز با استفاده از تکنیک IA، ارتباطات امن را برای شبکه X فراهم نموده است.

ما در این مقاله از تکنیک IA به منظور تأمین امنیت در ارتباطات فروسو<sup>۱</sup> (DL) یک شبکه مخابرات سلولی استفاده می‌کنیم. سیستمی متقارن شامل چند کاربر و چند سلول در نظر گرفته‌ایم. در مرکز هر سلول یک ایستگاه پایه<sup>۲</sup> (BS) واقع شده است و در هر سلول علاوه بر  $K$  کاربر، یک شنودگر نیز وجود دارد. در این سیستم درجات آزادی امن<sup>۳</sup> و نرخ محرومانگی<sup>۴</sup> را پس از اعمال تکنیک هم‌استاسازی فضایی تداخل<sup>۵</sup> محاسبه و شبیه‌سازی خواهیم نمود. اجرای IA فضایی وابسته به وجود تعداد آتن‌های کافی در ایستگاه‌های پایه و کاربران می‌باشد.

در ادامه، ابتدا در بخش ۲، مدل سیستم بررسی خواهد شد و در بخش ۳، تکنیک هم‌استاسازی به کار گیری شده معرفی می‌شود. بخش ۴، به تعریف روابط نرخ محرومانگی و درجات آزادی امن اختصاص پیدا می‌کند و در بخش ۵، عملکرد سیستم سلولی مبتنی بر IA به وسیله این دو پارامتر مهم، ارزیابی خواهد شد. نتیجه‌گیری و جمع‌بندی مقاله در بخش ۶، صورت می‌گیرد. در روابط ریاضی به کار گرفته شده، علائم  $\mathbf{A}^H$ ،  $\mathbf{A}^T$  و  $\mathbf{a}_i$  به ترتیب نمایانگر ترانهاده، هرمیتین و ستون  $i$  ام ماتریس  $\mathbf{A}$  می‌باشند. نماد  $\mathbf{a}_{N \times 1}$  معروف‌برداری  $N \times 1$  به صورت  $\mathbf{a}_{N \times 1} = \left[ \{a_n\}_{n=1}^N \right]^T$  است.  $\mathbf{I}_d$  و  $\mathbf{0}_{N \times M}$  به ترتیب ماتریس‌های  $d \times d$  همانی و  $N \times M$  صفر را معرفی می‌کنند.  $\{a\}$  بیان گر می‌اید ریاضی متغیر تصادفی  $a$  است و نماد  $\mathbb{C}$  مجموعه اعداد مختلط را نشان می‌دهد.

1- Downlink

2- Base station

3- Secure DoF

4- Secrecy Rate (SR)

5- Spatial IA

فرض  $N_e = N_m$  منظور می‌گردد. هر المان  $\mathbf{U}^{[k,c]}$  در گیرنده، سیگنال دریافتی توسط کاربر  $[k,c]$  به شکل رابطه (۴) درمی‌آید [۷].

$$\begin{aligned}\hat{\mathbf{y}}^{[k,c]} &= \mathbf{U}^{[k,c]H} \mathbf{y}^{[k,c]} \\ &= \mathbf{U}^{[k,c]H} \mathbf{H}_c^{[k,c]} \mathbf{V}^{[k,c]} \mathbf{s}^{[k,c]} \\ &\quad + \mathbf{U}^{[k,c]H} \left( \sum_{u=1, u \neq k}^K \mathbf{H}_c^{[k,c]} \mathbf{V}^{[u,c]} \mathbf{s}^{[u,c]} \right. \\ &\quad \left. + \sum_{b=1, b \neq c, u=1}^C \sum_{b=1, b \neq c, u=1}^K \mathbf{H}_b^{[k,c]} \mathbf{V}^{[u,b]} \mathbf{s}^{[u,b]} \right) + \hat{\mathbf{n}}^{[k,c]} \\ &\forall k \in \mathcal{K}; c \in \mathcal{C}\end{aligned}\quad (4)$$

که  $\mathbf{U}^{[k,c]} \cdot \hat{\mathbf{y}}^{[k,c]} \in \mathbb{C}^{d \times 1}$  و  $\mathbf{U}^{[k,c]} \in \mathbb{C}^{N_m \times d}$  در راه حل IA طوری طراحی خواهد شد که ستون‌هایش مستقل شوند و نیز  $\|\mathbf{U}^{[k,c]}\| = 1$  (که نماد  $\|\cdot\|$  معرف نرم ۲ می‌باشد؛ در نتیجه نویز  $\hat{\mathbf{n}}^{[k,c]}$  دارای توزیع  $\mathcal{CN}(\mathbf{0}_{d \times 1}, \sigma_n^2 \mathbf{I}_d)$  خواهد بود.

ماتریس پیش‌کد  $\mathbf{V}^{[k,c]}$  نیز ماتریسی نرمالیزه شده است؛ بنابراین ماتریس‌های سیگنال و تداخل را برای سیستم سلولی MIMO IFBC می‌توان به صورت روابط (۵) و (۶) تشکیل داد.

$$\mathbf{S}^{[k,c]} = \sqrt{P} \mathbf{U}^{[k,c]H} \mathbf{H}_c^{[k,c]} \mathbf{V}^{[k,c]} \quad \forall k \in \mathcal{K}; c \in \mathcal{C} \quad (5)$$

$$\begin{aligned}\mathbf{J}^{[k,c]} &= \sqrt{P} \mathbf{U}^{[k,c]} \left[ \left\{ \mathbf{H}_c^{[k,c]} \mathbf{V}^{[u,c]} \right\}_{u=1, u \neq k}^K \right. \\ &\quad \left. \left\{ \mathbf{H}_b^{[k,c]} \mathbf{V}^{[u,b]} \right\}_{u=1, b=1, b \neq c}^C \right] \\ &\forall k \in \mathcal{K}; c \in \mathcal{C}\end{aligned}\quad (6)$$

ماتریسی  $\mathbf{S}^{[k,c]}$  است که معرف زیرفضای سیگنال مطلوب دریافتی توسط کاربر  $[k,c]$  می‌باشد و  $\mathbf{J}^{[k,c]} \in \mathbb{C}^{d \times (KC-1)d}$  ماتریس زیرفضای تداخل برای این کاربر است که از کنار هم چیدن ماتریس‌های  $d \times d$  فضای تداخل درون و بین سلولی (ICI) و (UI) به وجود می‌آید. راه حل IA هنگامی بهدرستی ماتریس‌های پیش‌کد و پس‌کد  $\mathbf{V}^{[k,c]}$  و  $\mathbf{U}^{[k,c]}$  را برای کاربر  $[k,c]$  طراحی خواهد نمود و به همراستاسازی کامل تداخل<sup>۷</sup> دست می‌یابد که:

$$\mathbf{J}^{[k,c]} = \mathbf{0}_{d \times (KC-1)d} \quad \forall k \in \mathcal{K}; c \in \mathcal{C} \quad (7)$$

$$\text{rank}(\mathbf{S}^{[k,c]}) = d \quad \forall k \in \mathcal{K}; c \in \mathcal{C} \quad (8)$$

4- Subspace of desired signal

5- Inter-cell interference

6- Inter user interference

7- Perfect IA

دریافت هر شنودگر ( $N_e$ ) نامشخص است و به صورت پیش ماتریس  $\mathbf{G}_{b,c}$  نیز به شکل  $g_{i,j} \sim \mathcal{CN}(0,1)$  تولید می‌شود. در سناریوی BS-DL سلول  $c$ ، در هر لحظه از زمان،  $d^{[k,c]}$  رشته داده (سمبل) مستقل را برای کاربر  $[k,c]$  ارسال می‌کند که  $d^{[k,c]} \leq \min\{M_b, N_m\}$ . برای تمامی کاربران در تک تک سلول‌ها یکسان در نظر گرفته می‌شود:

$$d^{[k,c]} = d \quad \forall k \in \mathcal{K}; c \in \mathcal{C} \quad (1)$$

در این رابطه  $\mathcal{C} \triangleq \{1, \dots, C\}$  و  $\mathcal{K} \triangleq \{1, \dots, K\}$ . در این صورت می‌توان پیکربندی<sup>۱</sup> سیستم سلولی را به صورت  $(M_b \times (N_m, d))^C$  نمایش داد. بردار سمبول ارسالی برای کاربر  $[k,c]$  توسط  $\mathbf{s}^{[k,c]} \in \mathbb{C}^{d \times 1}$  تعریف می‌گردد که  $\mathbf{s}^{[k,c]} = [s_1^{[k,c]} \ s_2^{[k,c]} \ \dots \ s_d^{[k,c]}]^T$  محدودیت توان پیش‌کد می‌باشد. هر بردار  $\mathbf{s}^{[k,c]}$  توسط ماتریس  $\mathbf{V}^{[k,c]} \in \mathbb{C}^{M_b \times d}$  پیش‌کد می‌گردد که  $\mathbf{V}^{[k,c]} = [\mathbf{v}_1^{[k,c]} \ \mathbf{v}_2^{[k,c]} \ \dots \ \mathbf{v}_d^{[k,c]}]$  ستون‌های این ماتریس مستقل‌اند ( $\mathcal{D} = \{1, \dots, d\}$ ;  $\mathbf{v}_i^{[k,c]} \in \mathcal{D}$ ) و هر یک سمبول ارسالی متناظر با خود را کد می‌کند. پس از پیش‌کدگزاری<sup>۲</sup>، بردار سیگنال ارسالی توسط هر BS، یک بردار  $M_b \times 1$  خواهد بود:

$$\mathbf{x}^{[k,c]} = \sum_{i=1}^d \mathbf{v}_i^{[k,c]} s_i^{[k,c]} = \mathbf{V}^{[k,c]} \mathbf{s}^{[k,c]} \quad \forall k \in \mathcal{K}; c \in \mathcal{C} \quad (2)$$

بردار سیگنال دریافتی توسط کاربر  $[k,c]$  عبارت است از:

$$\begin{aligned}\mathbf{y}^{[k,c]} &= \sum_{b=1}^C \mathbf{H}_b^{[k,c]} \sum_{u=1}^K \mathbf{x}^{[u,b]} + \mathbf{n}^{[k,c]} \\ &= \underbrace{\mathbf{H}_c^{[k,c]} \mathbf{V}^{[k,c]} \mathbf{s}^{[k,c]}}_{\text{the desired signal}} + \underbrace{\sum_{u=1, u \neq k}^K \mathbf{H}_c^{[k,c]} \mathbf{V}^{[u,c]} \mathbf{s}^{[u,c]}}_{\text{intra-cell interfering signals}} \\ &\quad + \underbrace{\sum_{b=1, b \neq c, u=1}^C \sum_{b=1, b \neq c, u=1}^K \mathbf{H}_b^{[k,c]} \mathbf{V}^{[u,b]} \mathbf{s}^{[u,b]}}_{\text{inter-cell interfering signals}} + \mathbf{n}^{[k,c]} \\ &\forall k \in \mathcal{K}; c \in \mathcal{C}\end{aligned}\quad (3)$$

که  $\mathbf{n}^{[k,c]} \in \mathbb{C}^{N_m \times 1}$  بردار نویز AWGN مختلط با میانگین صفر و واریانس  $\sigma_n^2$  می‌باشد. پس از اعمال ماتریس پس‌کد<sup>۳</sup>  $(\mathbf{n}^{[k,c]} \sim \mathcal{CN}(\mathbf{0}_{N_m \times 1}, \sigma_n^2 \mathbf{I}_{N_m}))$

1- Configuration

2- Precoding

3- Post-coder matrix

$S_c$  ماتریسی  $d \times d$  است که معرف زیرفضای سیگنال مطلوب دریافتی توسط  $ES_c$  می‌باشد و  $\mathbf{J}_c \in \mathbb{C}^{d \times (KC-1)d}$  ماتریس زیرفضای تداخل برای این شنودگر است که از کنار هم چیدن ماتریس‌های  $d \times d$  فضای تداخل درون و بین سلولی به وجود می‌آید.  $\bar{\mathbf{J}}_c$  نیز ماتریسی  $(KC-1) \times N_e$  می‌باشد که در ادامه مباحث به کارگیری خواهد شد.

### -۳- راه حل IA فضایی شکل‌بسته

مقاله [۱۰]، راه حلی شکل‌بسته<sup>۴</sup> برای همراستاسازی تداخل در یک سیستم MIMO IFBC دو سلوله پیشنهاد می‌دهد. در هر سلول این سیستم دو کاربر وجود دارد. تعداد آتنن‌های ارسال و دریافت طوری تعیین می‌شود که شرط امکان‌پذیری IA در حالت تساوی برقرار گردد؛ این موضوع معادل با تخصیص تعداد بهینه آتنن در شبکه سلولی می‌باشد. این مقاله نشان می‌دهد که الگوریتم پیشنهادی اش به بهینه درجات آزادی  $2N_m$  در حالت  $\lceil 3/2N_m \rceil \leq M_b < 2N_m$  دست پیدا خواهد کرد (عملگر  $\lceil \cdot \rceil$  مقدار عدد اعشاری را به نزدیک‌ترین عدد صحیح بزرگ‌تر گرد می‌کند).

مقاله [۷] راه حل مقاله [۱۰] را برای رسیدن به حالت کلی کاربر و  $C$  سلول توسعه می‌دهد. این مرجع برای رسیدن به این هدف، از طرح گروه‌بندی<sup>۵</sup> استفاده می‌کند. این الگوریتم برای دست یافتن به راه حلی کلی، قیدی را به شرط امکان‌پذیری IA اضافه می‌کند. این الگوریتم شکل‌بسته در تمامی نواحی SNR<sup>۶</sup> با رعایت شدن قیود، حداقل ابعاد بدون تداخل را برای زیرفضای سیگنال‌های مطلوب کاربران فراهم می‌کند؛ ولی تنها در SNR<sup>۷</sup> های بالا مجموع نرخ بهینه دارد. الگوریتم مقاله [۷] طی دو گام طراحی می‌شود:

- گام اول: پس از آن که کاربران هر سلول کanal DL را تخمین زندن؛ به صورت مشارکتی اطلاعات حالت کanal<sup>۸</sup> (CSI) خود را بین یکدیگر به اشتراک می‌گذارند. با تکیه بر دانش کanal، این کاربران ماتریس‌های پس کد را طوری طراحی می‌کنند که بخشی از کanal‌های ICI همراستا گردد.
- گام دوم: پس از آن که هر یک از کاربران، کanal مؤثر ( $\mathbf{U}^{[k,c]H} \mathbf{H}_c^{[l,c]}$ ) خود را فیدبک نمودند؛ هر BS قادر است بر اساس کanal‌های ICI همراستاشده، ماتریس‌های پیش کد را به صورت مناسب طراحی کند و تداخل‌های درون و بین سلولی را به طور کامل حذف نماید. برای این منظور هر BS باید ماتریس‌های پیش کد را به صورت متعدد با زیرفضای

مقالات [۸] و [۹] شرایط امکان‌پذیری<sup>۱</sup> همراستاسازی خطی تداخل را برای پیکربندی‌های دلخواه از سیستم‌های سلولی متقارن MIMO IFBC بررسی نموده‌اند. بر این اساس کران مناسب درجات آزادی<sup>۲</sup> (DoF) برای سیستم

$$\left( M_b \times (N_m, d)^K \right)^C \quad (9)$$

$$d \leq \frac{M_b + N_m}{KC + 1} \quad (9)$$

مشابه با رابطه (۴) سیگنال دریافتی توسط شنودگر سلول  $c$  ام پس از اعمال ماتریس پس کد به شکل رابطه (۱۰) در می‌آید.

$$\begin{aligned} \hat{\mathbf{y}}_c &= \mathbf{W}_c^H \mathbf{y}_c \\ &= \mathbf{W}_c^H \mathbf{G}_{c,c} \mathbf{V}^{[k,c]} \mathbf{s}^{[k,c]} \\ &\quad + \mathbf{W}_c^H \left( \sum_{u=1, u \neq k}^K \mathbf{G}_{c,c} \mathbf{V}^{[u,c]} \mathbf{s}^{[u,c]} \right. \\ &\quad \left. + \sum_{b=1, b \neq cu=1}^C \sum_{u=1}^K \mathbf{G}_{b,c} \mathbf{V}^{[u,b]} \mathbf{s}^{[u,b]} \right) + \hat{\mathbf{n}}_c \\ &\forall k \in \mathcal{K}; c \in \mathcal{C} \end{aligned} \quad (10)$$

در این رابطه  $\mathbf{W}_c \in \mathbb{C}^{N_e \times d}$  ماتریس پس کد شنودگر سلول  $c$  می‌باشد و  $\hat{\mathbf{y}}_c \in \mathbb{C}^{d \times 1}$ . فرض می‌شود؛ ماتریس پس کد مربوط به شنودگر سلول  $c$  ام به منظور شنود سیگنال ارسال شده برای کاربر  $[k,c]$ ، توسط یک فیلتر ZF تولید شود:

$$\mathbf{W}_c = \left( \sum_{b=1, b \neq cu=1}^C \sum_{u=1}^K \mathbf{G}_{b,c} \mathbf{V}^{[u,b]} \mathbf{V}^{[u,b]H} \mathbf{G}_{b,c}^H \right)^{-1} \mathbf{G}_{c,c} \mathbf{V}^{[k,c]} \quad (11)$$

ماتریس‌های پس کد شنودگرها پس از تولید، نرمالیزه می‌شوند ( $\|\mathbf{W}_c\| = 1$ )؛ در نتیجه نویز سفید<sup>۹</sup> دارای توزیع  $\mathcal{CN}(\mathbf{0}_{d \times 1}, \sigma_n^2 \mathbf{I}_d)$  خواهد بود.

اگر فرض شود شنودگر سلول  $c$  ام به دنبال شنود سیگنال کاربر  $[k,c]$  باشد؛ در این صورت ماتریس‌های سیگنال و تداخل مربوط به این شنودگر را می‌توان به صورت زیر تشکیل داد:

$$\mathbf{S}_c = \sqrt{P} \mathbf{W}_c^H \mathbf{G}_{c,c} \mathbf{V}^{[k,c]} \quad \forall k \in \mathcal{K}; c \in \mathcal{C} \quad (12)$$

$$\begin{aligned} \mathbf{J}_c &= \sqrt{P} \mathbf{W}_c^H \left[ \left\{ \mathbf{G}_{c,c} \mathbf{V}^{[u,c]} \right\}_{u=1, u \neq k}^K \right. \\ &\quad \left. \left\{ \left\{ \mathbf{G}_{b,c} \mathbf{V}^{[u,b]} \right\}_{u=1}^K \right\}_{b=1, b \neq c}^C \right] \quad (13) \end{aligned}$$

$$= \sqrt{P} \mathbf{W}_c^H \bar{\mathbf{J}}_c \quad \forall k \in \mathcal{K}; c \in \mathcal{C}$$

1- Feasibility conditions

2- Degree of freedom

3- Zero-forcing

4- Closed-form solution

5- Grouping scheme

6- Signal to noise ratio

7- Sum-rate

8- Channel state information

کوچک‌تر گرد می‌کند.

$$\begin{bmatrix} \mathbf{I}_{M_b} & -\mathbf{H}_c^{[1,b]H} & \mathbf{0}_{M_b \times N_m} & \cdots & \mathbf{0}_{M_b \times N_m} \\ \mathbf{I}_{M_b} & \mathbf{0}_{M_b \times N_m} & -\mathbf{H}_c^{[2,b]H} & \cdots & \mathbf{0}_{M_b \times N_m} \\ \vdots & \vdots & \vdots & \ddots & \vdots \\ \mathbf{I}_{M_b} & \mathbf{0}_{M_b \times N_m} & \mathbf{0}_{M_b \times N_m} & \cdots & -\mathbf{H}_c^{[K,b]H} \end{bmatrix} \begin{bmatrix} \hat{\mathbf{J}}_{\text{Alig.}}^c \\ \mathbf{U}^{[1,b]} \\ \mathbf{U}^{[2,b]} \\ \vdots \\ \mathbf{U}^{[K,b]} \end{bmatrix} = \mathbf{A}_c \mathbf{X}_c = \mathbf{0}_{KM_b \times d} \quad \forall b = \left\lfloor C \left\lfloor c/C \right\rfloor - c \right\rfloor + 1; c \in \mathcal{C} \quad (15)$$

برای یافتن ماتریس مجھولات  $\mathbf{X}_c$  از معادله (۱۶) استفاده می‌گردد.

$$\mathbf{X}_c \subset \text{null}(\mathbf{A}_c) \quad \forall c \in \mathcal{C} \quad (16)$$

$\mathbf{A}_c$  بیان گر فضای نال ماتریس  $\text{null}(\mathbf{A}_c)$  می‌باشد. ماتریسی تمام رتبه نیست و  $M_b + KN_m > KM_b$ . از طرفی ماتریس  $\mathbf{X}_c$  ماتریسی  $(M_b + KN_m) \times d$  است. در نتیجه برای محاسبه مستقیم ماتریس  $\mathbf{X}_c$  بدون ترکیب نمودن (انتخاب نمودن بخشی از) پایه‌های اورتونمال فضای نال  $\mathbf{A}_c$ ، باید

$$\begin{aligned} M_b + KN_m - KM_b &= d \\ \rightarrow M_b(1-K) + KN_m &= d \end{aligned} \quad (17)$$

### ۲-۳- طراحی ماتریس‌های پیش‌کد

پس از محاسبه ماتریس‌های پس‌کد و کانال‌های ICI همراستا شده ( $\{\hat{\mathbf{J}}_{\text{Alig.}}^c\}_{c=1}^C$ ) می‌توان ماتریس‌های پیش‌کد را طبق رابطه (۱۸) استخراج نمود.

$$\mathbf{V}^{[k,c]} \subset \text{null}(\mathbf{B}^{[k,c]}) \quad \forall k \in \mathcal{K}; c \in \mathcal{C} \quad (18)$$

برای این کار، نخست باید ماتریس  $\mathbf{B}^{[k,c]}$  را برای کاربر  $[k,c]$  تشکیل داد. این ماتریس از کنار هم چیدن ماتریس‌های  $M_b \times d$  کانال‌های مؤثر ICI همراستاشده، کانال‌های مؤثر ICI همراستا نشده و کانال‌های مؤثر IUI وابسته به همانند رابطه (۱۹) برای کاربر  $k$  وجود می‌آید.

$$\mathbf{B}^{[k,c]} = \begin{bmatrix} \hat{\mathbf{J}}_{\text{Alig.}}^c & \underbrace{\left\{ \left( \mathbf{H}_c^{[k,c]H} \mathbf{U}^{[u,c]} \right) \right\}_{u=1}^K}_{\text{effective non-aligned ICI channels}} \\ \text{effective aligned ICI channels} & \underbrace{\left\{ \left( \mathbf{H}_c^{[k,c]H} \mathbf{U}^{[u,c]} \right) \right\}_{u=1, u \neq k}^K}_{\text{effective IUI channels}} \end{bmatrix}^H \quad (19)$$

$\mathbf{B}^{[k,c]}$  ماتریسی تمام رتبه نیست و  $M_b > K(C-1)d$ . از طرفی  $\mathbf{V}^{[k,c]}$  ماتریسی  $M_b \times d$  می‌باشد؛ بنابراین برای محاسبه

گسترده‌گی<sup>۱</sup> ماتریس‌های کانال مؤثر<sup>۲</sup> ICI و IUI طراحی کنند.

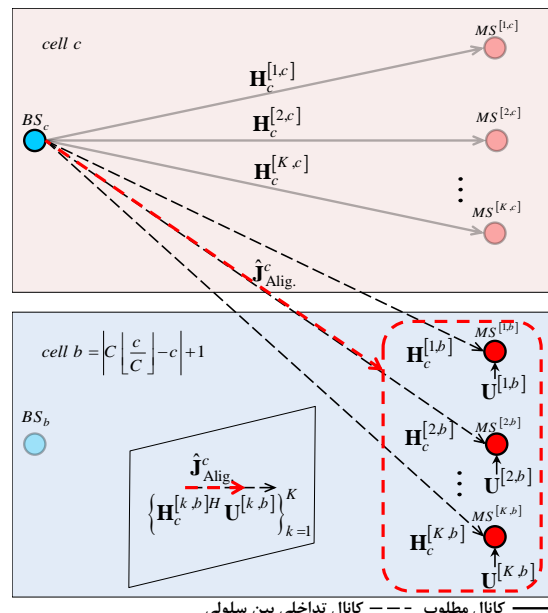
در ادامه دو گام فوق با جزئیات بیشتری بررسی می‌گردد.

### ۱-۳- طراحی ماتریس‌های پس‌کد

ابتدا بخشی از کانال‌های تداخلی بین سلولی که BS هر سلول برای دیگر سلول‌ها ایجاد می‌کند توسط ماتریس‌های پس‌کد همراستا می‌گردد. برای این کار از طرح گروه‌بندی استفاده می‌شود. در این طرح، کانال‌های ICI ناشی از سلول  $c$ ، توسط ماتریس‌های پس‌کد تمام کاربران سلول  $b = \left\lfloor C \left\lfloor c/C \right\rfloor - c \right\rfloor + 1$  همراستا می‌گردند؛ یعنی

$$\begin{aligned} \hat{\mathbf{J}}_{\text{Alig.}}^c \left( \left\{ \mathbf{U}^{[k,b]} \right\}_{k=1}^K \right) &= \text{span} \left( \mathbf{H}_c^{[1,b]H} \mathbf{U}^{[1,b]} \right) \\ &= \text{span} \left( \mathbf{H}_c^{[2,b]H} \mathbf{U}^{[2,b]} \right) \\ &= \cdots = \text{span} \left( \mathbf{H}_c^{[K,b]H} \mathbf{U}^{[K,b]} \right) \end{aligned} \quad (14)$$

که  $\hat{\mathbf{J}}_{\text{Alig.}}^c$  مطابق شکل ۲، ماتریس  $M_b \times d$  کانال‌های  $M_b \times d$  ماتریس کانال‌های همراستاشده از  $BS_c$  به کاربران سلول  $b$  می‌باشد و  $\text{span}(\mathbf{A})$  بیان گر فضای گسترده‌گی ماتریس  $\hat{\mathbf{J}}_{\text{Alig.}}^c$  ماتریس  $\{\mathbf{U}^{[k,b]}\}_{k=1}^K$  از معادله ماتریسی (۱۵) کمک گرفته و خواهد شد.



شکل (۲). تعیین ماتریس‌های پس‌کد به کمک طرح گروه‌بندی

در این معادله  $\mathbf{X}_c \in \mathbb{C}^{(M_b + KN_m) \times d}$ ،  $\mathbf{A}_c \in \mathbb{C}^{KM_b \times (M_m + KN_m)}$  و  $\mathbf{U}^{[k,b]} \in \mathbb{C}^{(M_b + KN_m) \times d}$ . مقدار عدد اعشاری را به نزدیک‌ترین عدد صحیح عملگر  $\lfloor \cdot \rfloor$  می‌گیریم. ۱- Span subspace ۲- Effective channel

$$\begin{aligned} R_c & \left( \mathbf{W}_c, \left\{ \left\{ \mathbf{V}^{[u,b]} \right\}_{u=1}^K \right\}_{b=1}^C \right) \\ & = \mathbb{E} \left\{ \log_2 \det \left[ \mathbf{I}_d + \left( \sigma_n^2 \mathbf{I}_d + \mathbf{J}_c \mathbf{J}_c^H \right)^{-1} \mathbf{S}_c \mathbf{S}_c^H \right] \right\} \\ & \forall c \in \mathcal{C} \end{aligned} \quad (25)$$

بر اساس روابط (۲۴) و (۲۵) نرخ محترمانگی و درجات آزادی امن برای کاربر  $[k,c]$  به ترتیب به صورت زیر تعریف می‌شود:

:[۳]

$$SR^{[k,c]} = \left[ R^{[k,c]} - R_c \right]^+ \quad (26)$$

$$\hat{d}_{\text{Secure}}^{[k,c]} = \lim_{P \rightarrow \infty} \frac{\left[ R^{[k,c]} - R_c \right]^+}{\log_2(P)} \quad (27)$$

که  $[ \cdot ]^+$  معرف  $\max(0, \cdot)$  می‌باشد. مجموع نرخ محترمانگی و مجموع درجات آزادی به ترتیب برابر است با:

$$SR_{\Sigma} = \sum_{c=1}^C \sum_{k=1}^K SR^{[k,c]} \quad (28)$$

$$\hat{d}_{\text{Secure}}^{\Sigma} = \sum_{c=1}^C \sum_{k=1}^K \hat{d}^{[k,c]} \quad (29)$$

#### -۱-۴ محاسبه درجات آزادی امن قابل حصول

بعد از اعمال راه حل همراستاسازی مرجع [۷]، شروط همراستاسازی کامل تداخل (۷) و (۸) محقق می‌شوند. در این صورت سیگنال‌های تداخل درون و بین سلولی در فضای  $N_m - d$  بعد بدون تداخل برای دریافت  $d$  سمبول ارسالی مطلوب وجود خواهد داشت. به عبارتی؛

$$\begin{aligned} \hat{d}^{[k,c]} & = \lim_{P \rightarrow \infty} \frac{R^{[k,c]}}{\log_2(P)} \\ & = \lim_{P \rightarrow \infty} \frac{\mathbb{E} \left\{ \log_2 \det \left[ \mathbf{S}^{[k,c]} \mathbf{S}^{[k,c]H} \right] \right\}}{\log_2(P)} \\ & = \lim_{P \rightarrow \infty} \frac{\sum_{i=1}^{\text{rank}(\mathbf{S}^{[k,c]})} \mathbb{E} \left\{ \log_2 \lambda_i \left( \mathbf{S}^{[k,c]} \mathbf{S}^{[k,c]H} \right) \right\}}{\log_2(P)} \\ & = \lim_{P \rightarrow \infty} \frac{\sum_{i=1}^d \log_2(\lambda_i)}{\log_2(P)} = d \end{aligned} \quad (30)$$

همان رتبه ماتریس  $\mathbf{A}$  و  $\lambda_i$  معروف  $i$  امین مقدار ویژه بزرگ ماتریس  $\mathbf{A}$  می‌باشد.

اگر شنودگر،  $N_e \leq (KC - 1)d$  آتن دریافت داشته باشد؛ همواره تمام ابعاد فضای دریافت شنودگر توسط سیگنال‌های تداخل درون و بین سلولی اشغال خواهد بود. بدین ترتیب در فضای دریافت شنودگر سلول  $c$  ام، زیرفضای بدون تداخل برای

مستقیم ماتریس  $\mathbf{V}^{[k,c]}$  باید

$$\begin{aligned} M_b - K(C-1)d & = d \\ \rightarrow M_b & = [K(C-1)+1]d \end{aligned} \quad (20)$$

با جایگذاری رابطه (۲۰) در (۱۷) مقدار  $N_m$  نیز به دست می‌آید.

$$\begin{aligned} [K(C-1)+1]d(1-K) + KN_m & = d \\ \rightarrow N_m & = \frac{d + [K(C-1)+1](K-1)d}{K} \\ & = [(K-1)(C-1)+1]d \end{aligned} \quad (21)$$

-۳-۳ برسی شرط امکان پذیری IA در الگوریتم [۷] با جایگذاری مقادیر  $M_b$  از  $N_m$  در روابط (۲۰) و (۲۱) در رابطه (۹)، شرط امکان پذیری IA عبارت است از:

$$d \leq \frac{[(2K-1)(C-1)+2]d}{KC+1} \quad (22)$$

در این رابطه اگر  $C \geq 2$  باشد؛ شرط امکان پذیری IA همواره برقرار خواهد بود.

$$C \geq 2 \rightarrow \begin{cases} \frac{M_b + N_m}{KC+1} = d & ; C = 2 \\ \frac{M_b + N_m}{KC+1} > d & ; C > 2 \end{cases} \quad (23)$$

طبق رابطه (۲۳)، هنگامی که  $C = 2$  باشد؛ تعداد آتن‌های  $N_m$  و  $M_b$  که از محدودیت ساختاری راه حل شکل بسته حاصل می‌شوند؛ بهینه هستند اما به ازای  $C > 2$ ، این تعداد از مقادیر بهینه دور می‌شوند.

#### -۴ محاسبه درجات آزادی امن و نرخ محترمانگی

نرخ قابل دستیابی توسط کاربر  $[k,c]$  عبارت است از

$$\begin{aligned} R^{[k,c]} & \left( \mathbf{U}^{[k,c]}, \left\{ \left\{ \mathbf{V}^{[u,b]} \right\}_{u=1}^K \right\}_{b=1}^C \right) \\ & = \mathbb{E} \left\{ \log_2 \det \left[ \mathbf{I}_d + \left( \sigma_n^2 \mathbf{I}_d + \mathbf{J}^{[k,c]} \mathbf{J}^{[k,c]H} \right)^{-1} \mathbf{S}^{[k,c]} \mathbf{S}^{[k,c]H} \right] \right\} \\ & \forall k \in \mathcal{K}; c \in \mathcal{C} \end{aligned} \quad (24)$$

$\det(\mathbf{A})$  معرف دترمینان ماتریس  $\mathbf{A}$  می‌باشد. به صورت مشابه نرخ قابل حصول برای شنودگر سلول  $c$  ام باهدف استراق سمع نمودن سیگنال در حال ارسال به کاربر  $[k,c]$  مطابق رابطه (۲۵) خواهد بود.

$$\begin{aligned} R_c^- &\leq \mathbb{E} \left\{ \sum_{i=1}^d \log_2 \left( \sigma_n^2 + P \lambda_i \left( \bar{\mathbf{J}}_c \bar{\mathbf{J}}_c^H \right) \right) \right\} \\ &\leq d \mathbb{E} \left\{ \log_2 \left( \sigma_n^2 + P \lambda_1 \left( \bar{\mathbf{J}}_c \bar{\mathbf{J}}_c^H \right) \right) \right\} \end{aligned} \quad (35)$$

ماتریس  $\bar{\mathbf{J}}_c \bar{\mathbf{J}}_c^H \in \mathbb{C}^{N_e \times N_e}$  دارای توزیع Wishart می‌باشد؛ بنابراین مقادیر ویژه آن با احتمال یک، مقادیری غیر صفر و مثبت هستند [۵]. در نتیجه

$$\lim_{P \rightarrow \infty} \frac{(34)}{\log_2(P)} = \lim_{P \rightarrow \infty} \frac{R_c^-}{\log_2(P)} = \lim_{P \rightarrow \infty} \frac{(35)}{\log_2(P)} = d \quad (36)$$

پس اگر  $N_e \leq (KC - 1)d$  باشد، داریم:

$$\hat{d}_c = \lim_{P \rightarrow \infty} \frac{R_c}{\log_2(P)} = \lim_{P \rightarrow \infty} \frac{[R_c^+ - R_c^-]^+}{\log_2(P)} = 0 \quad (37)$$

$$\hat{d}_{\text{Secure}}^{[k,c]} = \lim_{P \rightarrow \infty} \frac{[R^{[k,c]} - R_c]^+}{\log_2(P)} = \lim_{P \rightarrow \infty} \frac{R^{[k,c]}}{\log_2(P)} = d \quad (38)$$

## ۵- نتایج عددی

در شبیه‌سازی‌ها، عملکرد نرخ محرمانگی و درجات آزادی امن برای سیستم متقارن دوسلولی  $(M_b \times (N_m, d))^2$  (و بهزاری  $d = 1, 3, 5$  بررسی شده است. پیش از تحلیل نمودن نتایج بهدست آمده، فرضیات شبیه‌سازی بیان می‌شود.

### ۱-۵ فرضیات شبیه‌سازی

سطح توان نویز، واحد فرض شده است ( $\sigma_n^2 = 1$ ) و نمودارهای مجموع نرخ بهازی SNR های  $[0:3:30]$  dB و  $[0:10:150]$  dB رسم گردیده‌اند؛ در نتیجه تخصیص توان به هر سمبیل ارسال بهصورت  $P(i) = 10^{\text{SNR}(i)/10}/Kd$  در نظر گرفته می‌شود. نتایج عددی طبق روش شبیه‌سازی مونت‌کارلو از متوسط‌گیری روی  $300$  تحقق کanal بهدست آمداند. هر المان ماتریس‌های کانال  $\mathbf{G}_{b,c}; \forall b, c \in \mathcal{C}$  و  $\mathbf{H}_b^{[k,c]}; \forall k \in \mathcal{K}, b, c \in \mathcal{C}$  بهصورت i.i.d. از توزیعی گوسی مختلط با متوسط صفر و واریانس یک تولید می‌گردد. ماتریس‌های پیش کد و پس کد بعد از تولید، نرمالیزه و متعامدسازی می‌شوند. برای شبیه‌سازی درجات آزادی به ازای تعداد دلخواه آنتن در شنودگرهای رابطه  $(29)$  طبق مرجع [۱۱]، بهصورت  $(39)$  بازنویسی می‌شود:

$$\begin{aligned} d_{\text{Secure}}^{\Sigma} &= \sum_{c=1}^C \sum_{k=1}^K \left[ \left[ \text{rank}(\mathbf{S}^{[k,c]}) - \text{rank}(\mathbf{J}^{[k,c]}) \right]^+ \right. \\ &\quad \left. - \left[ \text{rank}(\mathbf{S}_c) - \text{rank}(\mathbf{J}_c) \right]^+ \right]^+ \end{aligned} \quad (39)$$

شنود سیگنال کاربر  $[k,c]$  وجود نخواهد داشت. اگر  $N_e > (KC - 1)d$  باشد، در این صورت بدون تداخل برای دریافت سمبیل‌های کاربر  $[k,c]$  آزاد می‌شود و درصورتی که  $N_e = KCd$  باشد؛ شنودگر می‌تواند  $d$  سمبیل ارسالی برای کاربر  $[k,c]$  را دریافت کند. بهطور مثال فرض کنید  $K = 5$  و  $C = 2$ ،  $d = 3$  باشد؛ در این صورت شنودگر سلول  $c$  می‌باید دو برابر کاربر  $[k,c]$  آنتن دریافت داشته باشد تا بتواند سیگنال این کاربر را بهطور کامل شنود کند.

حرف‌های زده شده را می‌توان بهصورت ریاضی نیز نشان داد. درجات آزادی در شنودگر سلول  $c$  ام که سیگنال کاربر  $[k,c]$  را استراق سمع می‌کند؛ بهصورت زیر محاسبه می‌شود:

$$\begin{aligned} \hat{d}_c &= \lim_{P \rightarrow \infty} \frac{R_c}{\log_2(P)} \\ &= \left[ \lim_{P \rightarrow \infty} \frac{\mathbb{E} \left\{ \log_2 \det \left[ \left( \sigma_n^2 \mathbf{I}_d + \mathbf{J}_c \mathbf{J}_c^H \right)^{-1} \mathbf{S}_c \mathbf{S}_c^H \right] \right\}}{\log_2(P)} \right]^+ \\ &= \left[ \lim_{P \rightarrow \infty} \frac{\mathbb{E} \left\{ \log_2 \det \left[ \mathbf{S}_c \mathbf{S}_c^H \right] \right\}}{\log_2(P)} - \lim_{P \rightarrow \infty} \frac{\mathbb{E} \left\{ \log_2 \det \left[ \sigma_n^2 \mathbf{I}_d + \mathbf{J}_c \mathbf{J}_c^H \right] \right\}}{\log_2(P)} \right]^+ \\ &= \left[ \lim_{P \rightarrow \infty} \frac{\mathbb{E} \left\{ \log_2 \det \left[ \mathbf{S}_c \mathbf{S}_c^H \right] \right\}}{\log_2(P)} - \lim_{P \rightarrow \infty} \frac{\mathbb{E} \left\{ \log_2 \det \left[ \sigma_n^2 \mathbf{I}_d + \mathbf{J}_c \mathbf{J}_c^H \right] \right\}}{\log_2(P)} \right]^+ \end{aligned}$$

در فوق تعریف می‌کنیم؛

$$R_c^+ \triangleq \mathbb{E} \left\{ \log_2 \det \left[ \mathbf{S}_c \mathbf{S}_c^H \right] \right\} \quad (31)$$

$$R_c^- \triangleq \mathbb{E} \left\{ \log_2 \det \left[ \sigma_n^2 \mathbf{I}_d + \mathbf{J}_c \mathbf{J}_c^H \right] \right\} \quad (32)$$

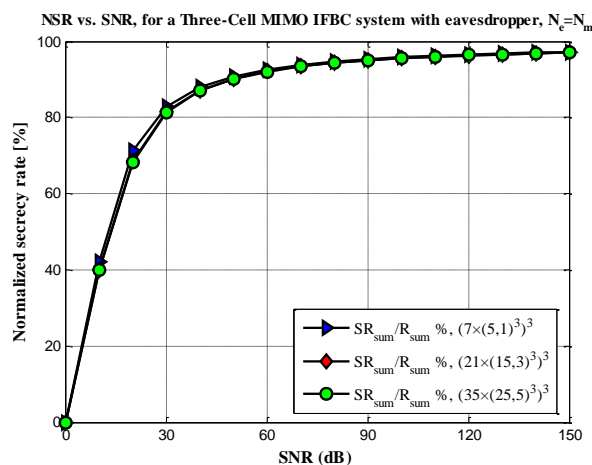
لم ۱: اگر  $N_e \leq (KC - 1)d$  باشد؛ تعداد درجات آزادی قابل حصول در شنودگر سلول  $c$  صفر خواهد بود. اثبات: فرض شده است که ماتریس پس کد هر شنودگر متعامدسازی شده باشد ( $\mathbf{W}_c^H \mathbf{W}_c = \mathbf{I}_d$ ) می‌توان نوشت:

$$\begin{aligned} R_c^+ &= \mathbb{E} \left\{ \sum_{i=1}^d \log_2 P \lambda_i \left( \mathbf{G}_{c,c} \mathbf{V}^{[k,c]} \mathbf{V}^{[k,c]H} \mathbf{G}_{c,c}^H \right) \right\} \\ &= \mathbb{E} \left\{ \sum_{i=1}^d \log_2 (P c_i) \right\} \\ &\quad \text{که } c_i \text{ مقداری ثابت بهصورت } 0 < c_i < +\infty \text{ است. در نتیجه} \\ \lim_{P \rightarrow \infty} \frac{R_c^+}{\log_2(P)} &= d \end{aligned} \quad (33)$$

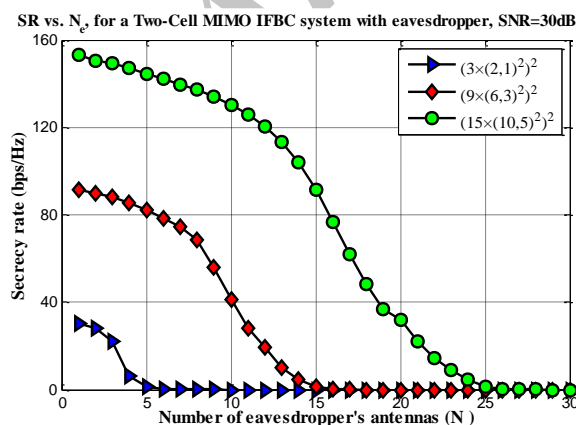
از طرفی کران‌های بالا و پایین  $R_c^-$  عبارت‌اند از:

$$\begin{aligned} R_c^- &\geq \mathbb{E} \left\{ \sum_{i=N_e-d+1}^{N_e} \log_2 \left( \sigma_n^2 + P \lambda_i \left( \bar{\mathbf{J}}_c \bar{\mathbf{J}}_c^H \right) \right) \right\} \\ &\geq d \mathbb{E} \left\{ \log_2 \left( \sigma_n^2 + P \lambda_{N_e} \left( \bar{\mathbf{J}}_c \bar{\mathbf{J}}_c^H \right) \right) \right\} \end{aligned} \quad (34)$$

دو سلوله که در هر سلول دو کاربر و یک شنودگر وجود دارد؛ بررسی شده است. تعداد آتن های دریافت شنودگر برابر با تعداد آتن های دریافت هر کاربر فرض شده و نتایج نرخ به ازای تعداد مختلف سمبل های ارسالی به دست آمده است. همان گونه که در شکل ۳ مشخص است؛ به ازای  $d$  سمبل ارسالی برای هر کاربر، نرخ محربانگی به ازای افتی تقریباً ثابت، عملکرد ظرفیت مجموع شبکه را با افزایش SNR تعقیب خواهد نمود. این موضوع سبب می شود که طبق شکل ۴، در SNR های بالا نسبت نرخ محربانگی به مجموع نرخ شبکه به یک میل کند. در نتیجه در رژیم SNR بالا نرخ محربانگی به ناحیه ظرفیت<sup>۳</sup> کانال پخش تداخلی نزدیک خواهد شد.



شکل (۴). عملکرد نرخ محربانگی در سیستمی با  $K = 2$ ،  $C = 2$  و  $d = 1, 3, 5$  به ازای  $N_e = N_m$  و



شکل (۵). عملکرد نرخ محربانگی بر حسب  $N_e$  در سیستمی با  $C = 2$ ،  $d = 1, 3, 5$  به ازای  $SNR = 30 dB$  و  $K = 2$

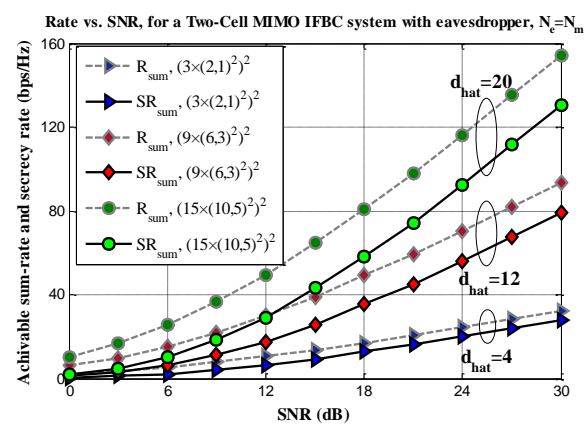
از آنجایی که رتبه یک ماتریس به صورت تعداد مقادیر یکتا<sup>۱</sup> بزرگتر از صفر آن ماتریس تعریف می شود و مقادیر یکتای ماتریس های سیگنال و تداخل ممکن است بسیار نزدیک به صفر باشند ولی دقیقاً صفر نشوند؛ پارامتری به نام دقت DoF تعریف می گردد. مقدار این پارامتر<sup>۶</sup> لحاظ شده است؛ در نتیجه مقادیر یکتای کوچکتر از<sup>۶</sup> ۱۰ در محاسبه رتبه ماتریس، شمارش نخواهند شد.

## ۲-۵ نتایج نرخ محربانگی و DoF امن بر حسب SNR

بر اساس مرجع [۱۲]، حداکثر مجموع درجات آزادی فضایی برای سیستم MIMO IFBC به ازای پیکربندی متقاضی به شکل (۴۰) می باشد.

$$\hat{d}_{\Sigma} = \min \{ CM_b, KCN_m, \max(M_b, KN_m) \} \quad (40)$$

به ازای  $2 \leq K = 1, 2$  و  $C = 2$  مجموع درجات آزادی امن برای حالت  $N_e \leq (KC - 1)d$  برابر با حداکثر DoF کانال تداخل خواهد بود. این نتیجه با توجه به شکل (۳) برای سیستمی با  $N_e = N_m$  و  $K = 2$ ،  $C = 2$ ،  $d = 5$  کاملاً قابل تأیید است. به طور مثال، به ازای  $d = 5$ ، تعداد آتن های ارسال و دریافت به ترتیب ۱۵ و ۱۰ خواهد بود؛



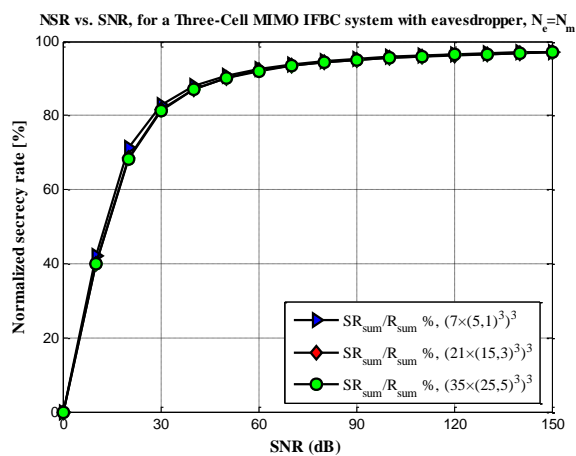
شکل (۳). عملکرد نرخ محربانگی و DoF امن در سیستمی با  $C = 2$ ،  $d = 1, 3, 5$  به ازای  $N_e = N_m$  و  $K = 2$

بنابراین تعداد حداکثر DoF کانال تداخل طبق رابطه (۴۰) به صورت  $\hat{d}_{\Sigma} = KN_m = 20$  می باشد. از طرفی طبق شکل ۳ و رابطه (۳۹) مجموع درجات آزادی امن نیز به همین مقدار می رسد ( $\hat{d}_{\text{Secure}}^{\Sigma} = KCd = 20$ ).

در شکل ۳ و شکل ۴ عملکرد نرخ محربانگی در سیستمی

1- Singular values

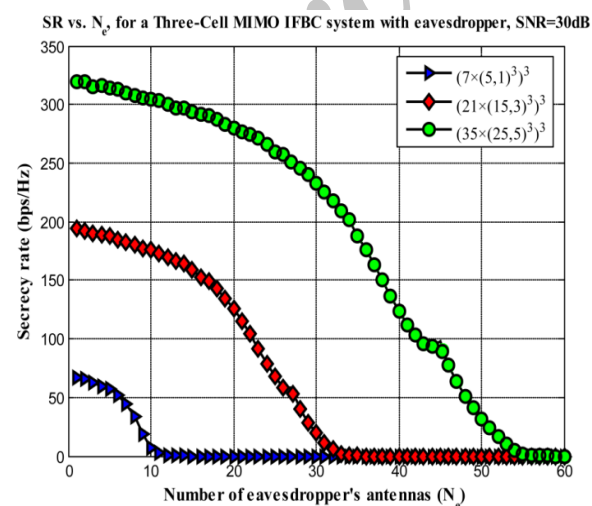
2- Sum capacity  
3- Capacity region



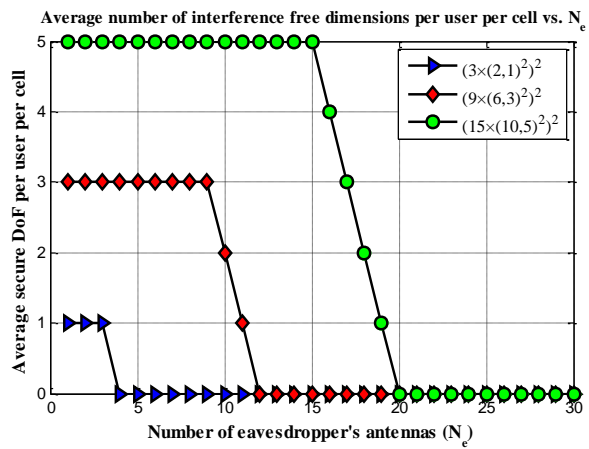
شکل (۸). عملکرد نرخ محرومانگی در سیستمی با  $K = 3, C = 3$  و  $d = 1, 3, 5$  به ازای  $N_e = N_m$

#### ۴-۵- نتایج نرخ محرومانگی و DoF امن در سیستم سه سلوله

در این زیر بخش عملکرد نرخ محرومانگی و درجات آزادی امن برای سیستمی با  $C = 3$  و  $K = 3$  در شرایط حضور شنودگر در سلولهای بررسی شده است. همانطور که در شکل ۷ تا ۱۰ مشهود است، نتایج شبیه‌سازی‌ها برای سیستم سه سلوله در حالت کلی (صرف نظر از تغییر مقیاس‌ها) به نتایج به دست آمده در سیستم دو سلوی نزدیک می‌باشد؛ در نتیجه از تحلیل شکل‌ها صرف نظر شده است.

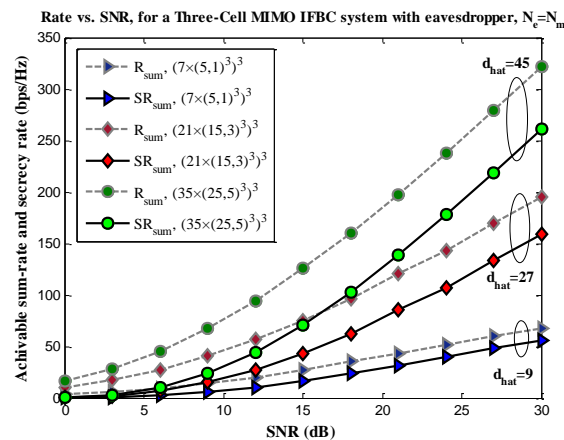


شکل (۹). عملکرد نرخ محرومانگی بر حسب  $N_e$  در سیستمی با  $SNR = 30dB$  و  $d = 1, 3, 5$  به ازای  $K = 3, C = 3$



شکل (۶). عملکرد درجات آزادی امن بر حسب  $N_e$  در سیستمی با  $SNR = 30dB$  و  $d = 1, 3, 5$  به ازای  $K = 2, C = 2$

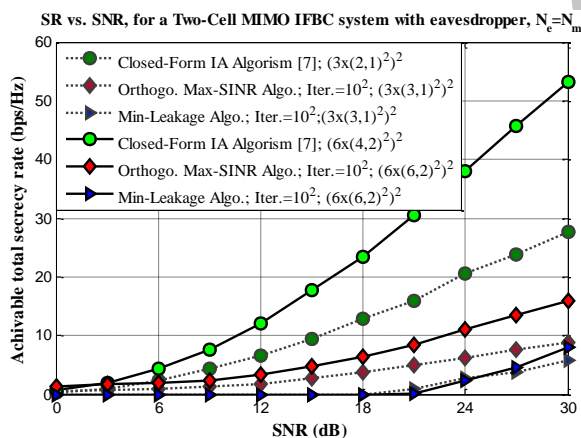
**۳-۵- نتایج نرخ محرومانگی و DoF امن بر حسب  $N_e$**   
در شکل‌های (۵) و (۶) به ترتیب عملکرد نرخ محرومانگی و درجات آزادی امن در سیستم دو سلوی بر حسب تعداد آنتن‌های دریافت شنودگر به نمایش در آمده است.  
آن‌چنان‌که مشخص است، هر چه تعداد آنتن‌های دریافت در شنودگرها افزایش یابد؛ نرخ محرومانگی به ازای  $d$  های مختلف کاهش خواهد یافت. با افزایش  $N_e$  سرانجام نرخ محرومانگی و میانگین درجات آزادی امن به صفر خواهد رسید. بنا به شکل ۶، اگر تعداد آنتن‌های دریافت هر شنودگر کوچک‌تر یا مساوی باشد؛ شبکه به حداقل درجات امن دست خواهد یافت. اما اگر  $N_e > 3d$  باشد؛ میانگین درجات آزادی امن در هر کاربر تا زمانی که  $N_e \geq 4d$  به میزان افت خواهد کرد و به ازای  $N_e - 3d$  امن در شبکه دو سلوی برابر با صفر می‌گردد.



شکل (۷). عملکرد نرخ محرومانگی و DoF امن در سیستمی با  $C = 3$  و  $d = 1, 3, 5$  به ازای  $N_e = N_m$  و  $K = 3$

دسته الگوریتم‌های شکل‌بسته و تکرارشونده تقسیم نمود. همان‌گونه که در این مقاله دیده شد، الگوریتم‌های شکل‌بسته معمولاً سریع می‌باشند و تنها بیکار تکرار نیاز دارند. همچنین عملکرد آن‌ها به طور کامل قابل پیش‌بینی است و به‌هزایی CSI دقیق هم‌ترازی کامل تداخل را تضمین می‌کنند. اگرچه الگوریتم‌های تکرارشونده به طور معمول به تعداد تکرار بالا برای رسیدن به همگرایی نیاز دارند اما این الگوریتم‌ها نسبت به راه حل‌های شکل‌بسته مقاومت بیشتری در شرایط CSI ناقص از خود نشان می‌دهند و در اکتساب CSI، هزینه سرزیز<sup>۱</sup> کمتری می‌پردازند.

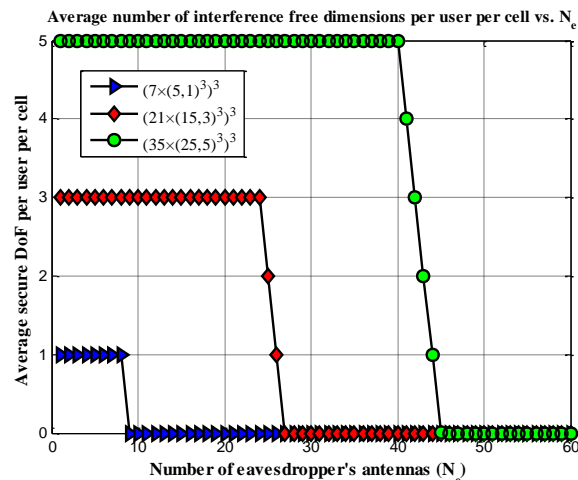
در شکل (۱۲)، عملکرد نرخ محروم‌نگی الگوریتم‌های IA شکل‌بسته و تکرارشونده در سیستمی دو سلوله به ازای  $K = 2$ ،  $d = 1, 2$  و  $N_e = N_m$  مقایسه شده است. از آنجایی که دو Max-SINR و Min-Leakage الگوریتم تکرارشونده و مشهور Max-SINR و Min-Leakage [۱۳] براساس خاصیت تقابلی بودن کانال<sup>۲</sup> (برگرفته از [۸ و ۱۳]) بروز خاصیت تقابلی بودن کانال<sup>۳</sup> (بودن ارتباطات) عمل می‌نمایند؛ باید ضریب  $1/2$  را هنگام محاسبه نرخ در رابطه (۲۴) لحاظ نمود. این موضوع سبب می‌شود که نتایج نرخ محروم‌نگی این دو الگوریتم به رغم  $N_m$  بیشتر نسبت به الگوریتم شکل‌بسته [۷]، افت چشم‌گیری داشته باشد.



شکل (۱۲). مقایسه عملکرد نرخ محروم‌نگی الگوریتم IA شکل‌بسته [۷] با الگوریتم‌های IA تکرارشونده Max-SINR و Min-Leakage

## ۶- نتیجه‌گیری

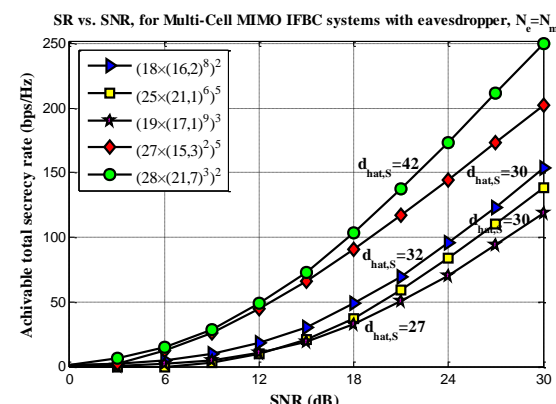
محاسبات ریاضی و شبیه‌سازی‌های این مقاله به خوبی نشان دادند که تکنیک هم‌راستاسازی تداخل می‌تواند نقشی کلیدی در امن نمودن ارتباطات سیستم‌های چند کاربره به‌خصوص شبکه‌های سلوی ایفا نماید. بنا به نتایج شبیه‌سازی و محاسبات



شکل (۱۰). عملکرد درجات آزادی امن بر حسب  $N_e$  در سیستمی با  $SNR = 30\text{ dB}$  و  $d = 1, 3, 5$  به‌ازای  $K = 3$ ،  $C = 3$

## ۵-۵- نتایج نرخ محروم‌نگی و DoF امن به‌ازای پیکربندی‌های گوناگون

در شکل (۱۱) به منظور تأیید کارایی تکنیک IA شکل‌بسته در امن نمودن ارتباطات شبکه‌های سلوی شبیه‌سازی‌های متنوعی صورت گرفته است. در این شکل، نتایج نرخ محروم‌نگی و درجات آزادی مربوط به الگوریتم شکل‌بسته [۷] به ازای انواع متنوعی از پیکربندی‌های سیستم سلوی ارزیابی شده است. به عبارتی این شبیه‌سازی‌ها به‌ازای  $C$ ،  $K$  و  $d$  مختلف و با فرض  $N_e = N_m$  صورت گرفته است.



شکل (۱۱). عملکرد نرخ محروم‌نگی و درجات آزادی امن به‌ازای پیکربندی‌های مختلف سیستم سلوی

## ۶-۶- مقایسه نتایج نرخ محروم‌نگی انواع الگوریتم‌های IA

الگوریتم‌های هم‌راستاسازی فضایی تداخل را می‌توان به دو

- 1- Overhead
- 2- Reciprocity property
- 3- Time division duplexing

رباضی، اگر تعداد آستن‌های دریافت در شنودگرها از شرط  $N_e \leq (KC - 1)d$  پیروی کند؛ با به کارگیری تکنیک IA می‌توان به حداقل درجات آزادی امن دست یافت و نرخ محروم‌گی شبکه سلولی را در SNRهای بالا به طرفیت مجموع شبکه نزدیک نمود.

## -۷- مراجع

- [1] O. E. Ayach, S. W. Peters, and R. W. Heath, "The Practical Challenges of Interference Alignment," *IEEE Wireless Commun. Mag.*, vol. 20, no. 1, pp. 35-42, Feb. 2013.
- [2] L. Qian, R. Q. Hu, Q. Yi, and W. Geng, "Cooperative Wireless Communications for Wireless Networks: Techniques and Applications in LTE-Advanced Systems," *IEEE Wireless Commun.*, vol. 19, no. 2, pp. 22-29, April 2012.
- [3] S. Sasaki, et al., "Secure communications using Interference Alignment in MIMO interference channels," in Proc. Int. Symp. on Antennas and Propagation (ISAP), pp. 762-765, 29 Oct.-2 Nov. 2012.
- [4] O. O. Koyluoglu, H. El Gamal, L. Lai, and H. V. Poor, "Interference Alignment for Secrecy," *IEEE Trans. on Inf. Theory*, vol. 57, no. 6, pp. 3323-3332, June 2011.
- [5] J. H. Lee, S. H. Chae, and W. Choi, "Opportunistic jammer selection for secure degrees of freedom," in Proc. IEEE Global Commun. Conf. (GLOBECOM), pp. 4862-4867, 3-7 Dec. 2012.
- [6] T. Gou and S. A. Jafar, "On the secure degrees of freedom of wireless X networks," in Proc. 46th Annual Allerton Conf. on Commun., Control and Computing, pp. 826-833, 23-26 Sep. 2008.
- [7] J. Tang and S. Lambetharan, "Interference Alignment Techniques for MIMO Multi-Cell Interfering Broadcast Channels," *IEEE Trans. on Commun.*, vol. 61, no. 1, pp. 164-175, Jan. 2013.
- [8] B. Zhuang, R. A. Berry, and M. L. Honig, "Interference Alignment in MIMO Cellular Networks," in Proc. IEEE ICASSP, May 2011.
- [9] T. Liu and C. Yang, "On the Feasibility of Linear Interference Alignment for MIMO Interference Broadcast Channels with Constant Coefficients," *IEEE Trans. on Signal Process.*, vol. 61, no. 9, pp. 2178-2191, May 2013.
- [10] W. Shin, N. Lee, J. Lim, C. Shin, and K. Jang, "On the Design of Interference Alignment Scheme for Two-Cell MIMO Interfering Broadcast Channels," *IEEE Trans. on Wireless Commun.*, pp. 437-442, Feb. 2011.
- [11] D. S. Papailopoulos and A. G. Dimakis, "Interference Alignment as a Rank Constrained Rank Minimization," *IEEE Trans. on Signal Process.*, vol. 60, no. 8, pp. 4278-4288, August 2012.
- [12] S. A. Jafar and M. J. Fakhereddin, "Degrees of Freedom for the MIMO Interference Channel," *IEEE Trans. Inf. Theory*, vol. 35, no. 7, pp. 2637-2642, July 2007.
- [13] J. Schreck and G. Wunder, "Distributed Interference Alignment in Cellular Systems: Analysis and Algorithms," in Proc. Sustainable Wireless Technol. (European Wireless) Conf., pp. 1-8, 27-29 April 2011.

Archive of SID

## **Enhancing Communication Security in Cellular Communications Networks by using Interference Alignment Technique**

**A. Golestani\*, K. Mohamedpour, A. Habibi Bastami**

K. N. Toosi University of Technology

(Received: 15/02/2015, Accepted: 01/09/2015)

### **ABSTRACT**

*One of the common challenges in wireless communications networks is wiretapping broadcast signals from radio stations by eavesdroppers. In this paper is shown that interference alignment (IA) technique can be completely eliminated intra and inter-cell interferences, in a cellular communications network with the same frequency allocation to all of the users. Also, this technique is able to provide maximum degrees of freedom (DoF) and securing the communication against eavesdropping. IA approximately can close the rate of network secrecy to rate region of the interfering broadcast channel (IFBC) in high SNR regime. In order to prove the mathematical and intuitive capability of the interference alignment technique in increasing communication security, a kind of IA algorithm closed-form is used in the downlink of an unsecured cellular network. Simulation results are demonstrated for a certain range from the number of eavesdropper's receive antennas, that secrecy rate well possible come close to the network sum-capacity in high SNRs.*

**Keywords:** Cellular communications network, security, interference alignment, secure degrees of freedom, secrecy rate, MIMO interference channel.